



HOKKAIDO UNIVERSITY

Title	電子顕微鏡によるアルミニウム銀合金の析出に関する研究
Author(s)	幸田, 成康; Koda, Shigeyasu; 竹山, 太郎 他
Citation	北海道大學工學部彙報, 7, 250-268
Issue Date	1952-09-25
Doc URL	https://hdl.handle.net/2115/40511
Type	departmental bulletin paper
File Information	7_250-268.pdf



電子顕微鏡によるアルミニウム銀合金の 析出に関する研究

幸 田 成 康

竹 山 太 郎

(May 19, 1952)

Electron Microscopic Studies of an Aluminium-Silver Alloy.

By Shigeyasu KODA and Taro TAKEYAMA

This report contains the results of electron microscopic studies on precipitates which were precipitated from supersaturated solid solution of an *Al-Ag* alloy containing 24.5% of *Ag*.

The specimens were heated at 550°C for 24 hours, then quenched into water and aged at 200°C or 250°C for various periods. Especially we researched the behaviour of precipitates in grain boundaries and their neighbourhood. At the same time we observed the precipitates which were effected by cold work.

The specimens were polished electrolytically and prepared by anodic oxidized replica method for electron microscope.

Photographs obtained were shown from Photo. 1 to 25.

We observed following characteristics on precipitates.

(1) Solution-treated and aged at 200°C and 250°C.

a) When we aged for short period after quenching, precipitates are formed on the matrix with very small particles. These white or black points are about 100Å. We thought these precipitates were γ'' phase. (Photo. 1-3),

b) As ageing time increases, the size of precipitates grows larger, but the number of them decreases. In this period, at first we observed points and plates, but as ageing time increases the points disappeared but plates grew larger. We thought these plates were γ' phase. (Photo. 4-11)

c) The orientation of the precipitates shown in Photo. 4-12 was explained as the section of intercourse between the surface of specimen and (111) planes of the matrix. So we concluded that the precipitates were formed on (111) planes of the matrix. Its

analysis were shown Fig. 1-5 and Fig. 7-9 with stereographic projection.

(2) Solution-treated and aged 200°C and 250°C after stretched 2 % in length.

a) In stretched specimens, the growth of precipitates was faster than that of unstressed specimens. (Photo. 13-15)

b) Precipitates were aggregates preferentially on slip planes (111) which were formed by stretching (Photo. 16). In this case, precipitates in slip planes were formed faster and larger than the other part of the grain. (Photo. 18 and Fig. 11)

(3) Behaviours of precipitates in grain boundaries.

a) In grain boundaries, the growth of precipitates was the fastest and we could see platelike precipitates γ' for short period ageing (Photo. 3), but on the contrary near the grain boundaries, the growth of precipitates was very slow and we observed white points of γ'' phase for long time ageing.

b) We could see grain boundary migration. (Photo. 8, 13, 14, 17, 19, 20 and 22-25) Fig. 6 showed schematically a stage of migration of grain boundaries of Photo. 13. As revealed by the direction of the precipitates, the orientation of the area C which was swept by the moving boundary was the same as that of the adjacent grain A. So we thought the straight line (1) was the boundary which presented in the original quenched state and the curved line (2) was that after tempering. In this area C, we observed very large precipitates. This grain boundary migration, we thought, might be occurred when two grains were very different orientation as Fig. 9, but when misfit angles of two grain were small this grain boundary migration would not occurred as Fig. 5. We are researching the cause of this area just stated, so will report in next paper.

目 次

I 緒 論	IV 析出物の結晶學の方位
II 試 料	V 考 察
III 電子顕微鏡による觀察	VI 結 言

I 緒 論

$\text{Cu}4\sim5\%$ を含む Al-Cu 合金の析出過程については多くの研究があり、それに依れば Al 過飽和固溶體は状態圖に示された平衡相 CuAl_2 を直接析出せず、先づ Cu 原子の局部的集合により微小な薄片状の Guinier-Preston aggregate θ'' 相* を matrix の (100) 面に形成し、次いで時効が進むにつれて大きさと厚さを増し組成的には安定相と同じであるが結晶構造の異なる中間相 θ' 相を生じ、最後に同素變態的轉換で平衡相 θ 相 (CuAl_2) に移ることが明らかにされた。

Al-Ag 合金の Al 側状態圖は Table 1 に示す如く¹⁾ 共晶温度の 558°C で Ag 約48%を固

1) M. Hansen, Z Metallk., 20 (1928), 217.

* この aggregate は極めて薄く、matrix の lattice と coherent な關係になつてゐるので、“相”と呼ぶのは不適當とも考えられるが、一應その温度で準安定性のある集團である故、軽い意味で“相”と呼ぶことにする。

Table 1 Solid Solubility Limit of Ag in Al

Temperature, °C	200	250	300	350	400	450	500	558
Ag, %	0.75	1.75	3.25	~6.5	~12	~21	~33	~48

溶するに對し, 常溫では殆んど固溶しない故, $Al-Cu$ 合金と全く同じく時効硬化を示すことが知られている。^{2) 3)} この合金の析出過程については, 1940年以來, Barrett-Geisler-Mehl⁴⁾⁻⁷⁾ と Guinier⁸⁾⁻¹⁰⁾ の二系統の研究がある。Barrett-Geisler-Mehl によれば析出過程は $Al-Cu$ 合金と同様, 初め固溶體中に Ag 濃度の高い微小な薄片狀の Guinier-Preston aggregate γ'' 相が matrix の (111) 面に平たく形成する。^{*} この aggregate は低溫時効では小さく, 高溫時効では大きく, 時効時間と共に成長し, その變化を X 線的に求めた結果は Table.2 に示す如くである⁶⁾。

Table 2 Approximate Diameter of Precipitates in Å.

Ageing Temperature	Time	Thickness	Diameter
200°C	5 mins.	<10	<100
room temperature as quenched from solution heat treatment	50 days.	<10	<100
150°C	104 hrs.	<10	≥100
200°C	2½ hrs.	10 to 100	>100
200°C	3 hrs.	10 to 100	>100
320°C	1 hrs.	>100	>100

更に時効が進むと, この aggregate は Al_2Ag 組成の中間相 γ' 相に成長する。 γ' 相は稠密六方の結晶構造を有し, matrix の (111) 面に板狀に析出し, γ' 相の (0001) 面は matrix の (111) 面に接し lattice はこの面で coherent の關係になつている。次いで γ' 相は平衡状態の析出相 γ 相 (Al_2Ag) に同素變態する。

これに對應する顯微鏡組織の變化は, 光學顯微鏡で觀察すると, 初め過飽和固溶體の一相組織から, 次いで析出物のり面への選擇的な集合である線條組織 (striated structure)^{**} と變化

- 2) L. Guillet, L. J. Guillet, Compt. Rend., 209 (1939), 79.
- 3) 幸田, 渡邊, 日本金屬學會誌, 16 (1952), 208.
- 4) C. S. Barrett, A. H. Geisler, J. Appl. Phys., 11 (1940), 733.
- 5) C. S. Barrett, A. H. Geisler, Phys. Rev., 58 (1940), 206. 講演要旨
- 6) C. S. Barrett, A. H. Geisler, R. F. Mehl, Metals. Tec., 8 (1941) TP, No.1275
- 7) A. H. Geisler, J. K. Hill, Acta, Cryst., 1 (1948), 238.
- 8) A. Guinier, Compt. Rend., 214 (1942), 34.
- 9) A. Guinier, Physica, 15 (1949), 148.
- 10) A. Guinier, J. Phys., 8 (1942), 124. 入手出來ずまだ読んでいない。

^{*} Guinier は球狀であるという。本稿の262頁参照。なお Geisler はこの前に Stringlet の段階があるといつている。文献 7) 参照。

^{**} 線條組織の成因は焼入歪力により生じたり面への優先析出である。幸田, 諸住, 關川, 北大工學部彙報, 第5號 (昭和26年), 162参照。

するが、初期の微細な析出物の挙動は観察することが出来ない。

著者等は先に *Al-Cu* 合金の析出過程を電子顕微鏡で観察したが、¹¹⁾ 今回は *Al-Ag* 合金について同様の観察を行つた。これにより今迄観察されなかつた段階の *Al-Ag* 合金の微細な析出物の挙動が明らかにされた。以下にこれを報告する。

II 試 料

(1) 試料の製作法

所要量の高純度 *Al* (舊住友製99.99% *Al*) と純 *Ag* を電気抵抗爐で溶解、10mm角の金型に鑄造した後、十分に焼鈍し厚さ 4mm迄鍛造、それから厚さ 0.5mm迄圧延し、幅10mm 長さ 50mmの板状に切断し試料とした。溶解の際の容器にはアルミナで内張りした黒鉛坩堝を使用し、不純化しないように注意した。

(2) 組 成

分析した結果、*Ag* 24.59%であつた。

(3) 熱処理の種類と研磨

熱処理後試料に機械的歪を一切與えないように、熱処理前に表面をエメリーペーパーで 05 迄磨き、次にアルミナ水溶液でバフ研磨を行い一應機械的に平滑にした後、550°C で24時間溶體化処理後常温の水に焼入し、色々の時効処理を行つてから最後に電解研磨のみで美しい表面に仕上げた。時効処理は 200°C 及び 250°C で時効時間を變えた場合が大部分である。場合によつては若干の延伸變形を與えてから時効 (焼戻) した時もある。

電解研磨には、過酸素酸 ($HClO_4$) と無水醋酸 ($(CH_3CO)O_2$) 2:7の混合溶液を用いた。特別の腐蝕法は行わなかつた。電子顕微鏡試料としてはその必要が無いからである。¹²⁾

(4) 電子顕微鏡試料作成法

上述の処理をした試料を次ぎに磷酸アンモン ($(NH_4)_2HPO_4$) 飽和水溶液中で陽極酸化し、出來た被膜を昇汞 ($HgCl_2$) 飽和水溶液で剝離、充分洗滌し網上に擲り上げ、乾燥、固定して観察に供した。詳細については前報告¹¹⁾を参照されたい。

III 電子顕微鏡による観察

(1) 焼入後200°C 及び 250°C で時効した場合

以下代表的な寫眞について 200°C と 250°C で時効 (焼戻) を行つた時の、時効時間と共に變化する析出物の挙動を観察して見る。なおこれ等のものは光學顕微鏡では、時効初期には均一な一相の如く結晶粒界以外何も観察されないが、時効が進むにつれて線條組織 (striated

11) 幸用, 竹山, 北大工學部彙報, 第5號 (昭和26年), 176.

12) 西村, 幸用, 村上, 竹山, 日本金屬學會誌 A15 (1051), 412.

structure) が二重, 三重或は四重に観察されるものであり, 個々の析出物は認められない段階である。

Photo.1 は 200°C で 30 分, Photo.2 は 250°C で 5 分, Photo.3 は 250°C で 10 分時効したものである。印刷では不明かと思われるが, 非常に微細な白点又は黒点 (特に Photo.2) が試料一面に観察される。これ等微細な点々は大きさ約 100 Å 又はそれ以下で, 先に述べた Guinier-Preston aggregate γ'' 相と考えられる。なお写真に見える cubic の形をしたものは腐蝕モザイクである。

この様に析出粒子が白点又は黒点となる理由は, 陽極酸化, 被膜の剝離, 洗滌の過程に於て, 析出粒子が酸化膜から抜けて, 微細な孔になつた場合白点となり, 析出粒子が酸化膜内に残つた場合黒点となる。この微細な点々より析出粒子の眞の形状大きさを推論することは, replica 法によつて観察した時の電子顕微鏡の分解能は大體 100 Å が限度と考えられるので, この写真より断定することは困難であるが, 大きさについては大體 Table.2 の X 線測定の結果と同じ order を示すものと想像される。従つてこの点々を Guinier-Preston aggregate γ'' 相と解釋する。後述するこの粒子の挙動もこれを裏書きする。

Photo.3 は特に結晶粒界を示したものであるが, 両方の結晶粒内には微細な析出粒子が観察されるのに, 幅 0.05 μ の粒界範囲には既に 0.1~0.2 μ の大きさの析出物が観察される。これは結晶粒界に於ける析出物の異常成長を示すもので, 大きさから見て既に γ'' 相では無い。この析出の爲め残りの粒界は Ag 濃度が少し減少し, Ag 濃度のうすい固溶體が帯狀に細長く粒界を形成している。この部分の Ag 濃度は, 写真の黒化度からは粒内の matrix と變らないから, 殆んど結晶粒内の matrix と同じであるように思われる。

以上の微細な析出粒子は, 時効が進むにつれて次第に大きく成長し数を減すると同時に, 別に線狀の析出物が観察されて来る。この線狀の析出物は互に方位を有し, これをもとに stereographic projection で解析すると, 眞の形は板狀で matrix の (111) 面に平らたく析出していることが證明出来る(次章参照)。こうした析出状況と大きさから考えて, この板狀析出物は γ' 相と解釋する。*

Photo.4 は 200°C で 4 時間時効したもので, 成長した 100~200 Å の Guinier-Preston aggregate と同時に, 板狀の析出物 γ' 相が観察される。(なお, 点線狀のものも認められる)。この板狀析出物は厚さ 100~200 Å で大きさは約 0.5 μ , matrix の四方向に生じており, 解析の結果 (111) 面に平たい。

Photo.5~6 は共に 250°C 30 分時効した試料である。各結晶粒内は Photo.4 と同様であるが, 粒界の析出物は厚さを増している。茲で注目されるのは, 粒界を中心として各幅 1 μ 位の兩側の粒内の部分には, 板狀析出物が殆んど観察されず, 成長した 100~200 Å の大きさの白点の

* 直接 X 線廻折法で證明しようとしたが, 試料の結晶粒度が Debye-Scherrer 法を適用するには粗大に過ぎ, Laue 法を適用するには細か過ぎて現在手持ちのカメラでは簡単に出来なかつたので中止した。

みが認められることである。これは粒界に巨大な析出物が形成された結果、反つて粒界近傍に Ag 濃度の低下を生じ析出物の成長が遅くなつた爲めであるまいか。

なお Photo.5 に於てA結晶粒(上)では約 0.5μ の板状析出物が多く、白點が非常に少いのに対し、B結晶粒(下)では板状析出物が未だ少く大部分白點である。それに引きかえ Photo.6 ではAB兩結晶粒は殆んど同程度の析出状態を示している。かくの如く、結晶粒によつて析出の進行状況が異なるが、これには兩者の結晶粒の互の方位が關係あるようである。これについては後で考察する。

Photo.7は 250°C で90分の時効である。矢張り結晶粒界の兩側は白點の r'' 相が多いが、前よりその幅は狭い。兩結晶粒内では、完全に白點は消失し、大きき $0.5\sim 0.6\mu$ の板状析出物 r' 相のみが觀察される。又粒界には前と同様大きな析出物が認められる。

Photo.8 は同様の熱處理のものであるが、粒界自體が幅を増し、大きき數 μ に達する巨大な析出物が觀察される。しかし兩方の結晶粒内の析出の状態は、Photo.7 と殆んど變らない。なおこの巨大な析出物を含む粒界をよく觀察すると、一方のB結晶粒(下)と境する粒界 $a b$ は直線で、この附近のB粒内には白點が觀察されるに對し、他方のA結晶粒(上)と境する粒界 cd は曲線状で、附近のA粒内には白點が存在しない。この巨大な析出物を含む異常な領域については後で更に考察する。(364頁以下)

Photo.9 は 250°C で 6 時間時効したもので、粒内には全く白點は消失し、ただ方向性のある 1μ 又はそれ以上の板状析出物のみになつている。粒界には大きき析出物のみが觀察される。

Photo.10 は 250°C で 18時間、Photo.11は 250°C で 50時間時効したものである。時効時間と共に析出物が次第に大きき成長してゆく様子が觀察される。50時間以上時効した試料では、結晶粒内にも巨大な析出物が觀察されるが、これは r 相と見做してよいであろう。

Photo.12 は溶體化處理後爐中でそのまま徐冷した場合で、完全に成長發達した r 相(Al_2Ag)である。厚さ $0.3\sim 0.4\mu$ 、大きき $5\sim 6\mu$ に達している。

(2) 焼入後歪を與えてから 200°C 及び 250°C で焼戻した場合

過飽和固溶體を加工してから焼戻すると、加工によつて生じた轉位により析出が促進される。その爲め轉位の多い γ 面(111)面に析出物が優先的に生ずることが考えられる。 $Al-Ag$ 合金では γ 面も析出面も共に(111)面であるから、この際析出物は γ 面に平行して密集するであろう。この豫想のもとに焼入後直ちに2%の引張り加工を與えてから焼戻を行い、析出物の舉動を觀察してみた。又同時に前述の粒界附近に於ける析出物の舉動にも注意を拂つた。

Photo.13は、2%引張り後、 250°C 10分間、Photo.14は、2%引張り後 200°C で 2.5時間焼戻したものである。Photo.3又はPhoto.4と同じ又はそれ以下の焼戻時間であるが、非常に析出が促進されている。即ちPhoto.13では、各結晶粒内には大きき白點の析出粒子と共に、板状析出物が matrix の(111)面の四方向に發達している。又 Photo.13、Photo.14共に寫真中央の粒界に異常に發達した析出物を含む領域が認められる。この領域の特長についてはPhoto.7

に観察したものと同じで、これについては後述する。

Photo.15は、2%引張り後 250°C で 30分焼戻したものである。矢張り析出の促進が顕著である。これにも粒界に大きい析出物は存在しているが、Photo. 14 の如き異常成長は観察されない。Photo.16は、同じ処理の試料で、寫眞の ab 方向に特に密集した析出物が観察される。これは析出物が実際に辻つた辻り帯に優先的に析出した爲めで、析出物の方向と辻り帯の方向が一致しているのは共に (111) 面である故である。

Photo.17は、2%引張り後、250°C で 90分焼戻したもので、結晶粒界附近に析出物が異常に成長した状態を示したものである。熟処理は Photo.7 及び Photo.8 と同じであるが、矢張り加工により析出が促進された爲め、直線状の粒界 ab 附近にも白點は全然認められない。

Photo.18は、2%引張り後、250°C で 6時間焼戻したものである。辻り面 a b 方向の析出が促進されて特に巨大に發達している。

Photo.19は、同じ処理をしたもので、析出物の粒界附近の異常成長を示したものである。

Photo.20は、2%引張り後、250°C で 18時間焼戻したもので、粒界のみに方向性のない粒状化した析出物が認められる。なお下の粒内で一方向に多數の析出物が出ているが、この方向に辻り帯が生じた結果であろう。

(3) 倍率を變えた場合

粒界の巨大析出物を含む異常な領域を光學顯微鏡で觀察すると共に、電子顯微鏡の倍率を變えて觀察した。

試料は 2%引張り加工後 250°C で 30分間焼戻したものである。

Photo.21 は、その光學顯微鏡寫眞(倍率200倍)で相當顯著な問題の粒界を示したものである。粒内には所謂線條組織が見える。辻り帯の凹凸は電解研磨で消してあるので、辻り帯への析出物の優先析出に結果する線條である。個々の析出物の存在は全然分らない。

Photo.22~25 は、同一の試料を電子顯微鏡で順次倍率を高めて撮影したものである。倍率が低いと粒内の析出狀況が全然分らないことに注意されたい。

IV 析出物の結晶學的方位

以上は析出物が時効温度、時間と共に變化して行く有様を觀察したものであるが、次に析出物の結晶學的な方位その他について考察しよう。

(1) 板狀析出物の析出面が matrix の (111) 面であること

先に述べた如く Barrett-Geisler-Mehl⁶⁾の研究によつて、 γ' 相は板狀の形で matrix の (111) 面に析出することが X線測定の結果より判明しているが、著者等が電子顯微鏡寫眞で觀察した板狀析出物もまた matrix の (111) 面に平たく析出していることを證明しよう。方法は stereographic projection を利用し、析出物が (111) 面に平板狀に存するとして寫眞上の析出

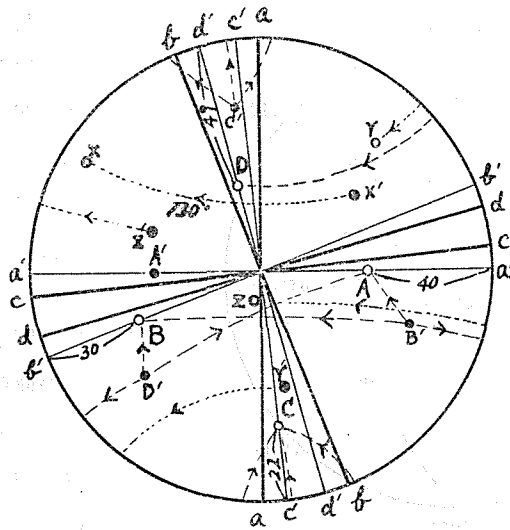


Fig. 1 Stereographic projection of the crystal grain A shown in Photo.6. Projection plane is the surface of the grain. The diameters aa' , bb' , cc' and dd' are the directions of the precipitates observed in the photograph. The diameters $a'a'$, $b'b'$, $c'c'$ and $d'd'$ are normal to aa' , bb' , cc' and dd' each other. We can obtain the poles of (111) planes of the matrix on these diameters, which are marked by A, B, C and D. The angles between the surface of the grain and the plane of platelike precipitates are given by Aa' (40°), Bb' (30°), Cc' (22°) and Dd' (49°). X, Y and Z are the poles of (100) planes.

物の方位が完全に説明出来ることを示すというやり方である。

例として Photo.6 の A 結晶粒の析出物の方位を解析しよう。先づ一枚の透寫紙に試料表面を示す基圓を描く（勿論基圓の大きさは解析に利用する Wulff's net の基圓と同じにする）。これに析出物の四方向 aa' , bb' , cc' , dd' 方向に對し垂直な直径 $a'a'$, $b'b'$, $c'c'$, $d'd'$ を描記する。(Fig.1 参照) この描記された直径は夫々線状に見える析出物が板状であると假定した時、とり得る總ての面方向の極點の軌跡である。

次にもう一枚の別の透寫紙に、(100) 面の一つを中心とした標準投影の四つの (111) 面の極點を描記する。(Fig.2 参照) この透寫紙二枚を Wulff's net 上に重ね合せ、中心をピンで止める。そしてこれ等三枚の紙を互に廻轉し合つて、標準投影の各 (111) の四つの極點が net の NS 軸の周りの同一角度の廻轉によつて、もう一枚の透寫紙上の四つ直径 $a'a'$, $b'b'$, $c'c'$, $d'd'$ 上に夫々來るような相對的位置を探す。これが出來れば (111) 面という假定が正しいことになる。これが不可能ならばこの假定は捨てて他の假説をとらなくてはならない。今の場合 Fig.1 に示す如く、前述の假定のもとに四つの極點 ABCD が板状析出物の板面 (111) の極點として得られる。従つて證明出來たわけである。又四つの極點が分れば、stereographic projection の性質から、夫々 aa' , bb' , cc' , dd' 方向の板状析出物が試料表面となす角が角 Aa' , Bb' , Cc' , Dd' から與えられる。

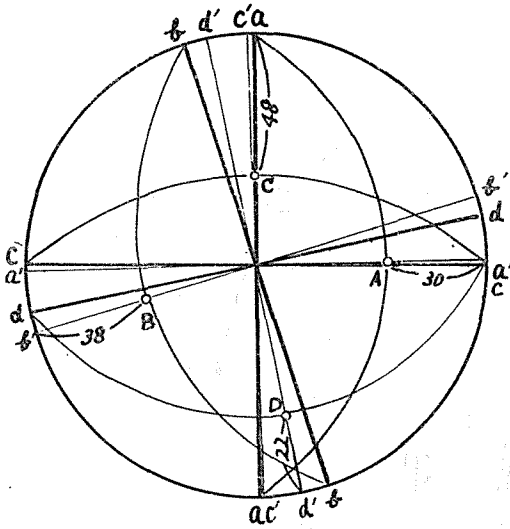


Fig.4 Stereographic projection of the crystal grain B shown in photo.6. Compare this figure with Fig.1.

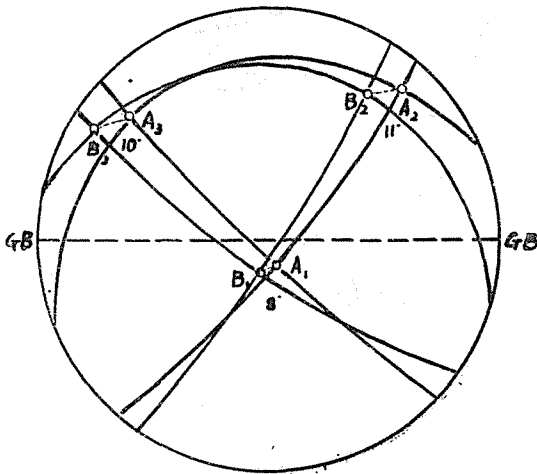


Fig.5 Comparison of orientations for grain A and grain B in Photo.6. This is the combination of Fig.1 and Fig.4. A_1, A_2 and A_3 are the poles of (100) planes of grain A. B_1, B_2 and B_3 are the same meaning.

つた方位になつてゐることが分る。言いかえれば夫々の〔100〕方向間の角即ちmisfit angleは小さく、これを求めてみると $8^\circ, 11^\circ, 10^\circ$ となつてゐる。

(3) 粒界に於ける異常に發達した析出物の存する領域の方位は、それが直線狀の粒界で隣接する結晶粒の方位と一致すること。

茲に注意すべきことは、(111)面の標準投影の極點の中心がWulff's netの表にある場合と裏にある場合との二つが考えられるが、(111)の極點が廻轉によつて(111)面に來る場合は、必ずその内どちらか一つであることである。

前述の如く Fig.1は Photo.6の結晶粒を解析した結果で、各析出物は matrixの(111)面にうすい板狀の形で析出しており試料平面となす角は夫々 $40^\circ, 30^\circ, 22^\circ, 49^\circ$ となつてゐる。

(2) 板狀析出物の方位から結晶粒の方位が決定出来ること

析出物は matrixの(111)面に板狀に析出するという事實から matrixの方位が決定出来る。matrixの方位を表わすには、試料面を基圓として、matrixの三つの(100)面の極點を示すのが分りよい。先にFig.1に於てPhoto.6のA結晶粒の方位をこの方法で示したが、同様にB結晶粒の方位を示すと、Fig.4を得る。隣接結晶粒であるAB二つの互いの向きを知る爲め

Fig.1とFig.4を重ね合せてみるとFig.5となり、非常に似合

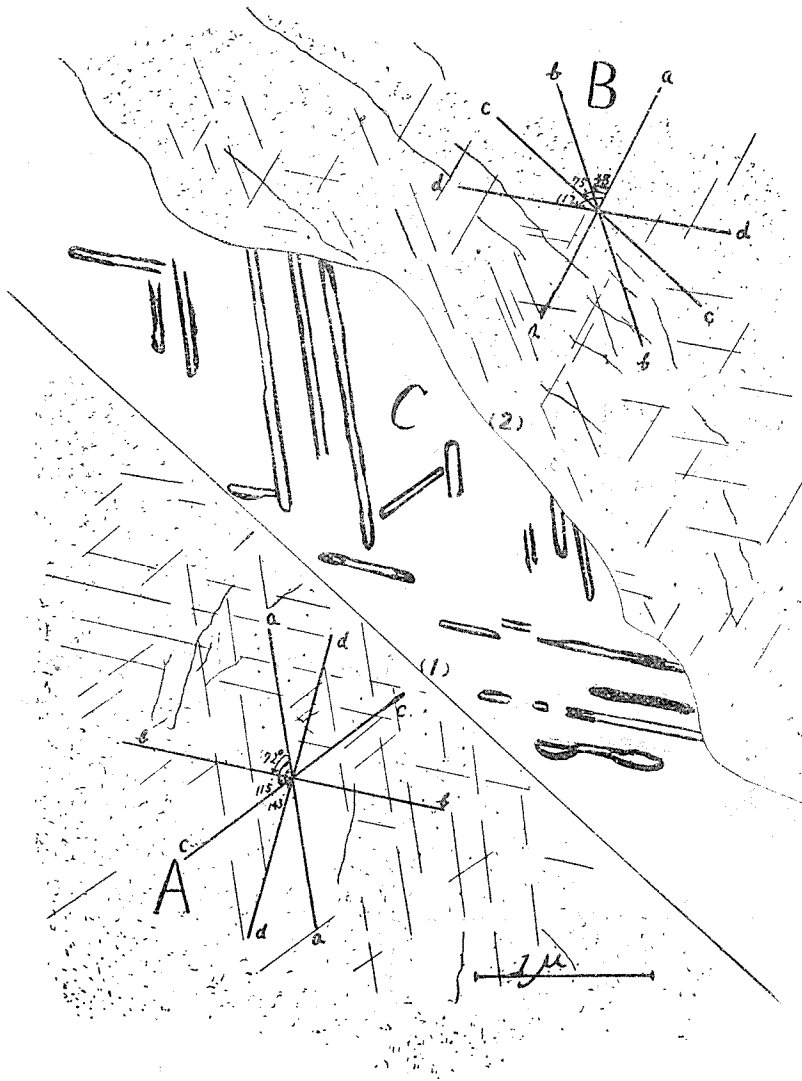


Fig. 6 Schematic diagram of Photo. 13.

Fig. 6 は, Photo. 13 の略圖を示したものである。全體は圖の如く, 析出物の巨大な發展をなした領域を中央として, A, B, C の三つの部分に分けられる。なお説明の都合上直線の粒界を (1), 曲線の粒界を (2) とする。

切てこの三つの部分の析出物の方位を測定して見ると, C 範圍の巨大な析出物は, 方向は完全に A 範圍の析出物の方位と一致している。即ち直線の粒界 (1) で境する A と C とは同一の結晶方位を有していることが結論される。それに反し曲線の粒界 (2) で境する B と C に何等方位的な關係が無い。

この A B 結晶粒について matrix の方位を (2) と同様にして求めてみると, Fig. 7 及び Fig. 8

を得る。それを一つの圖にまとめてみたのがFig.9で、今度は misfit angle が非常に大きく、夫々の [100] 軸は夫々33°, 24°, 36°の角度をなしている。同圖中のGBは直線の粒界(1)を示す。

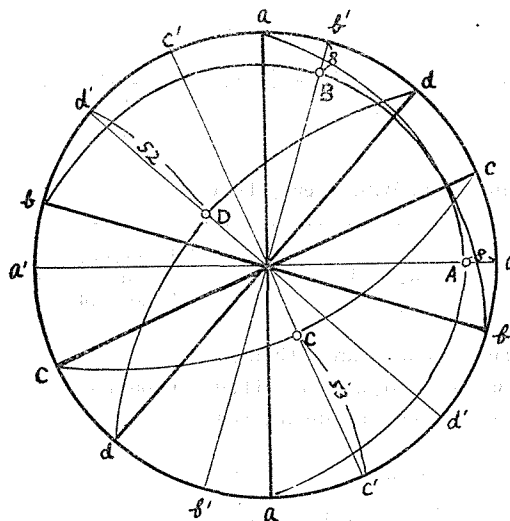


Fig. 7 Stereographic projection of the crystal grain A shown in Photo. 13. Projection plane is the surface of the grain. Meaning of the marks, such as aa, bb etc, is the same in Fig.1. A,B,C and D are the poles of (111) planes of the matrix. The angles between the surface of the grain and the plane of platelike precipitates are given by Aa' (8°), Bb' (8°), Cc' (53°) and Dd' (52°).

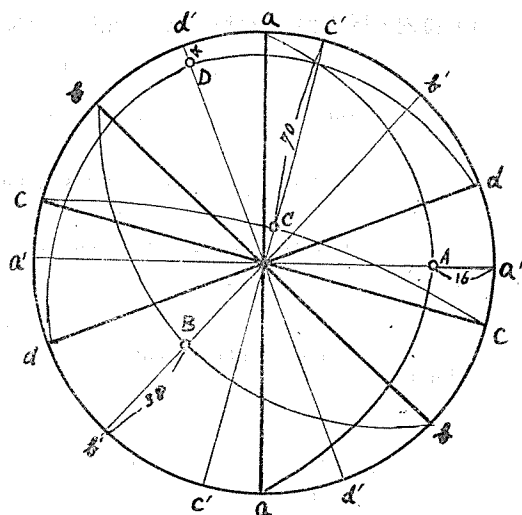


Fig. 8 Stereographic projection of the crystal grain B shown in Photo. 13. Compare this figure with Fig.7.

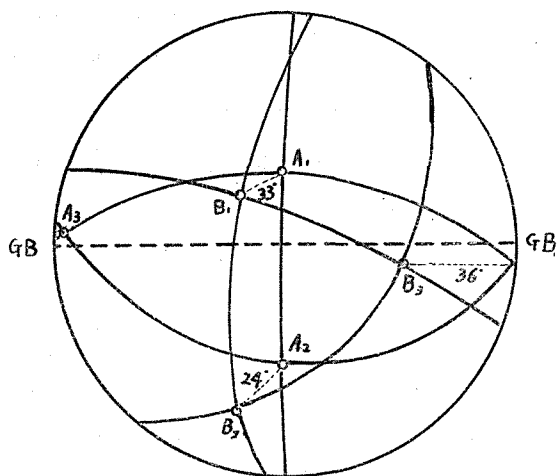


Fig. 9 Comparison of orientations for grain A and grain B. A₁, A₂ and A₃ are the poles of (100) planes of grain A. B₁, B₂ and B₃ are the same meaning.

V 考 察

(1) 粒内の析出物の形状と成長変化について

以上の結果を総合すると, 時効温度200°C及び250°Cの場合, 時効時間の長くなるに従い, 粒内析出物は Table.2 の如き成長過程を経過する。

Table. 2 Growth of Pre-precipitates in Garain With Ageing Time.

Stage	Observed shape and dimension of precipitates	Remark	Reference of Photographs
First	White or black points, $\cong 100 \text{ \AA}$	These points are Guinier-Preston aggregates γ'' . Their true shape does not determined.	Photo.1~3
Second	White points (100~200 \AA) and dotted or straight orientated lines. (length 5000 \AA , thickness 200 \AA)	True shape of linear precipitates is thin platelike. They may be γ' -phase.	Photo.4~6
Third	Orientated lines. (length $\geq 5000\text{\AA}$, thickness $\geq 200\text{\AA}$)	The same above.	Photo.7~9
Fourth	Large orientated lines. (length 5000 \AA ~1 μ , thickness $\geq 200\text{\AA}$)	The same above	Photo.10~11
Fifth	Large orientated lines and large, long but irregular-shaped grains.	Irregular-shaped grains may be γ -phase.	Photo.18

析出の初期の段階である Al-Ag 合金の Guinier-Preston aggregate の形體については, 緒論に述べた如く Barrett-Geisler-Mehl⁶⁾ は平板状と考えているに對し, Guinier^{8) 9)} は球状と考えている。共に X線廻折寫真における streak の解釋をもとにしており, 異つた結論になるのは不思議で, 異つた段階の状況を見ているので無ければ孰れかに決定さる可き問題である。しかしこれに對し現在の電子顯微鏡は答えを與えない。寫真を見ると Guinier-Preston aggregate の段階では一見球状の點々が多數觀察されるが, 先にも述べた如く分解能の限界點になるので形の確定には無力である。但し現在電子顯微鏡自體の分解能は30 \AA 位までは充分到達し得る故, 試料作成技術上の進歩によつては, これが可能になる日が来るかも知れない。

次に電子顯微鏡で觀察される γ' 相は平板状であり, matrix の (111) 面に平らたく析出していることは上述したが, そうなる理由については Barrett-Geisler-Mehl の見解で良いと思う。

即ち matrix と coherent な析出物形成により生ずる strain energy を出来るだけ小さくするような形態をとるためであろう。ところで γ' 相と matrix の lattice が coherency になっていることは、電子顕微鏡では分らない。Gayler⁽¹³⁾が *Al-Cu* 合金の中間相 θ' 相で、又 Barrett-Geisler-Mehl⁽⁴⁾が *Al-Ag* 合金の γ' 相の高倍率の光學顕微鏡寫眞において、coherency があるため輪郭が不鮮明になっていると述べているが、著者等の電子顕微鏡での觀察では、完全に γ' 相と考えられる段階においてもこのような事實は無く、輪郭ははつきりしていた。

この γ' 相の末期と γ 相との區別は電子顕微鏡では分らない。方位のある美しい厚味のうすい平板状の析出物に對し、方位の余りはつきりしない大きい塊状の、場合によつては細長い厚味のある縁に丸味のある析出物を γ 相であろうと推測するだけである。この點 X 線廻折法との併用が望ましい。

最後に見掛上の點状析出物 (Guinier-Preston aggregate) と線状析出物 γ' 相とのつながりであるが、本實驗においては長さの短い γ' 相が遂に見出せなかつた。點が段々長くなつて線(眞の形は板状)になるので無く、點が不連続的にある長さの線になつて来るように見える。200°C と 250°C の觀察だけであるから未だ斷言は出来ないが、若しこの不連続性が事實とすれば、Guinier-Preston aggregate の段階たる γ'' 相は、 γ' 相のただ小さく薄いものと考えられなくなる。

(2) 粒界に於ける優先析出について

Photo.3 或は Photo.5 その他に於て粒界に沿つて相當の厚味のある米粒状の細長い析出物が認められる。この事實は、粒界は轉位の集合と考える最近の理論からもうかがえるように、粒界は原子の移動が早く茲に析出が優先した爲めである。なおこの粒界の方位ある巨大な析出物を含む領域については後述する。

(3) 粒内の場所による析出状況の差異について

Photo.5 等で觀察される如く、粒界の近傍では析出物が點状であるのに粒内では既に線状になつている。その理由は一寸前述したように、粒界に析出物の優先析出が生じ同時に濃度の低い帯状のものが生じた爲め、それに接する粒内の過飽和度が減じ、従つて析出能力が減じた爲め析出の進行がおくれた爲めであろう。

かくの如く一つの粒内に於ても場所により析出の進行が異ると同時に、各々の結晶粒に於ても析出の進行状況が異なる(Photo.5 参照)。この原因は、本試料は鍛造壓延後充分焼鈍してあり組成の不均一は考えられないから、結局焼入歪による塑性變形の場所による差異が原因であろう。

以上の結果をもとに、粒界、粒界近傍、粒内部の析出のある段階を形式的に圖示すると Fig. 10 の如くなる。但し matrix の固溶體濃度については電子顕微鏡寫眞の地の黒化度は何處も同じになつており、完全に *Ag* 濃度が同じように見えるが、一方今迄の X 線による格子常數測定からは、 γ'' 相の段階では完全に matrix の濃度が平衡状態の固溶體濃度までになつていない。

13) M. L. V. Gayler. Proc. Roy. Soc., 173 (1939) 83.

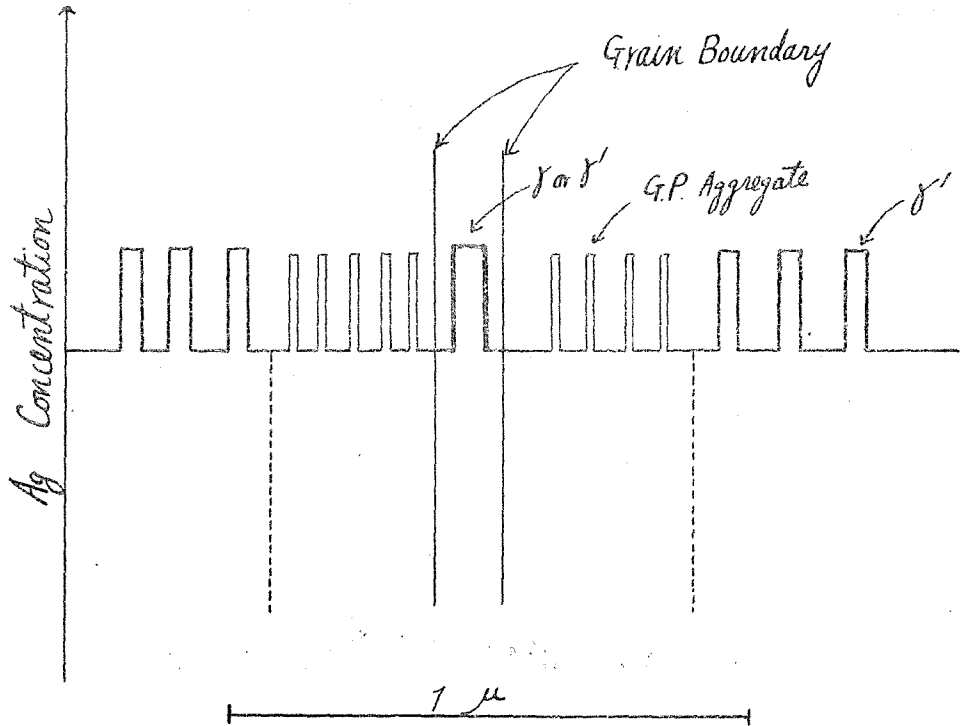


Fig.10 Diagrammatic representation of precipitation in Photo.7.
Ordinate in this figure represents concentration of silver.

圖は大體の析出状況を析出物の大きさの點から示したものと見て欲しい。

(4) せり帯への析出について

せり帯に方位ある優先析出が行われているが、せり帯には転位が多數固着されておることから析出核形成の頻度が大きいことは想像される。しかし析出物が γ' 相の場合、Fig.11の如くせり面と一致して板状に成長したことに對しては多少の説明を要すると思う。即ち核成長は一應はどの(111)面でも差支えないからである。しかしこれも転位がせり面内に固着されている關係上、せり面内での擴散が早く、平らに廣がる成長が容易と考えればよいと思う。

(5) 粒界に於て巨大な析出物の形成される領域について

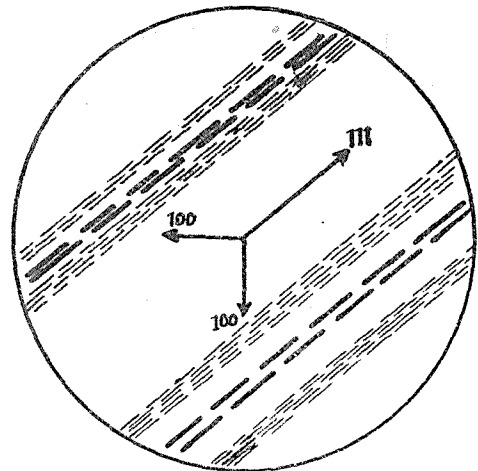


Fig.11 Relation between the orientation of precipitates and slip plane. The shape of precipitates is thin plate parallel to (111) plane of the matrix.

Photo.8, Photo.13等に観察される巨大析出物を含む領域 (Fig.6 の領域C) について考察したい。

先づ形態上の特長としては前章に述べた如く、

1. 二つの結晶粒の間にあり、一方は直線、他方は曲線の粒界で夫々の粒に境しているき
2. この領域も両側の結晶粒もすべて析出物が存在するが、この領域の析出物は極めて大きいこと。
3. この領域の方位は直線で境する結晶粒の方位と完全に一致し、曲線で境する方の粒の方位とは何等関係がない。

更に發生上の特長を調べてみると、

1. 時効時間が長い程この領域が顕著に現われる。即ちこの領域の成長が起る。
2. この領域の成長は、方位を異にする粒内の方え起る。即ち曲線の粒界が移動する。
3. この現象は時効前に伸長を與えた場合の方が著しい。即ち歪があると發生に都合よい。
4. 両側の結晶粒の方位のくいちがいの大きい粒界にあらわれ易い。(Photo.6の解析結果の Fig.5 と、Photo.13の解析結果の Fig.7 を比較されたい)

更に確からしいものを加えるならば

5. この領域の擴大が、時効時間を更に延長した時どこまでも繼續するかどうかは未だ分らないが、今までの實驗の範圍では相當長時間時効させても全域この領域にならないことから見てある程度で止まるらしい。
6. この領域の擴大即ち粒界移動は、既に存在する γ' 相析出物を喰つて行われるらしい。即ち移動と共に析出物の再編成が行われるらしい。
7. 前述の4と関連したことであるが、この現象の發生には焼入歪力に伴う塑性變形(歪)が關係ありそうなこと。

以上5~7は事實としては略確からしいと思つてゐるが、更に實驗を重ねる豫定でいる。所でこの粒界移動は、以上の結果より見て、發達した段階では光學顯微鏡でも観察し得るので、文献中に類似現象を求めたところ次のものを得た。これを紹介すると共に批判を加えたい。

Gordon-Cohen¹⁴⁾ は、1940年 Cu-Co 合金及び Cu-Fe 合金を焼入し焼戻した時に、同様の粒界移動の著しい顯微鏡寫眞を擧げている。彼等は焼戻によつてこの領域が粒界に出現し、一方の隣接粒内に入つてゆき、その曲線境界近い部分が腐蝕され易く dark fringe を呈することを認めているが、單に粒界の早期析出現象であるとのみ軽く取扱つてゐる。

又同じ年 Gayler¹⁵⁾ は、Al-Cu 合金(Cu 4%) の焼入後 130°C 50日時効した試料において、粒界に析出物と共に帯狀の明るい領域を認めた。彼女によれば粒内析出物の附近に近接して明るい領域が存在しているということで、これを "light phenomenon" と名付けた。1946年

* この領域が両側の結晶粒に對し共に曲線の粒界を作る場合もあるが、これは一方の粒内に出來たものと他方の粒内に出來たものが發達の結果接觸したためであると思う。例えば Photo.21参照。

14) R. B. Gordon, M. Cohen, Symposium on "Age Hardening of Metals", (1940), 161.

15) M. L. V. Gayles, J. Inst. Metals, 66 (1940), 67.

Gayler¹⁶⁾ は再びこの現象を研究し, “light phenomenon” は, 時効に伴つて析出粒子の大きさが増大する結果周囲の matrix に歪力を生じ遂に再結晶現象を起すため, 析出粒子の近傍に Cu 濃度のうすい明るい色の領域を生ずる現象であるとした。従つて粒界の帯状の領域も, かかる析出物近傍の再結晶によることになる。一つの新説であるが,*この考えでは粒界の異常領域の方位が全然説明出来ない。

次いで1950年 Perryman-Blade¹⁷⁾ は Al-Zn 合金 (10% Zn) の常温時効したものの光學顯微鏡寫眞において, 粒界に loop 状の領域を認めたが, これは寫眞より見て著者等と同じである。この loop 状の領域は Zn 濃度の濃い, 形の不規則な析出物と light phase から出来ており, 彼等によれば discontinuous precipitation の結果であるという。形態上確かに austenite から pearlite への分解過程と良く似ているし, 又粒界より析出物を含んだ相が成長して来るのであるから, この考えは魅力的である。なおこの成因には焼入歪が必要であり, 且つ loop 領域の結晶學的關係はこの領域の進行してゆく結晶粒よりも直線状の境で接する隣りの結晶粒と密接な關係があるらしいとも述べている。しかし光學顯微鏡的觀察なので (一枚電子顯微鏡寫眞があるが Formvar replica で寫實度が悪く細かい點は分らない), 著者等の如くこの領域の析出物の形や兩側の粒内に既に析出物が存在することには氣が付いていない。従つて若し discontinuous precipitation 説を固執すると, 既に一應析出により二相になつたところから重ねて析出が生ずると言う結果を説明しなければならぬ。この點が問題なものと, 矢張りこの領域の方位の説明は discontinuous precipitation 説では困難ではあるまいか。なお Perryman-Blade によれば1943年 Geisler-Barrett-Mehl¹⁸⁾ も Al-Zn 合金 (25%) 100°C の時効のもので同様の粒界に looped phase を認めているという。この外1950年 Mckeown-Hopkin¹⁹⁾ は, Pb 合金 (Sb 0.23%, Sn 0.40%) の室温の creep 破壊のもの粒界に類似の現象を認め, これは discontinuous precipitation であると簡単に言つているが, 何等考察は行つていない。ただ寫眞の説明において discontinuous precipitation の形を “band type”, “recrystallisation type” “unstable type” の三つに分けている。

以上は時効型合金における同種の粒界現象であるが, この外に注目されるものに, 1950年の Beck-Sperry^{20), 21)} の所謂 strain induced grain boundary migration なる現象がある。これは高温で焼鈍してから10%前後壓延した高純度アルミニウムを再び焼鈍した時認められるもので, 粒界より發生し, 一つの結晶粒を再結晶核として隣接する粒内に領域を擴大してゆ

16) M. L. V. Gayler, J. Inst. Metals, 72 (1946), 243.

* Gayler は光學顯微鏡寫眞を以てこの説を立てているが, 確かに粒界には不規則な形の大きい析出物を含む著者等の觀察と似た帯状の領域が確かにあるが, 粒内の析出物近傍に “light phenomenon” を認めたとする寫眞ははつきりしない。光學顯微鏡の解像力を越えた2000~2750倍の倍率を機械研磨した試料でうつすのであるから, 行き過ぎではあるまいか。

17) E. C. W. Perryman, J. C. Blade, J. Inst. Metals, (1950, May), 263.

18) A. H. Geisler, C. S. Barrett, R. F. Mehl, Trans. A. I. M. E., 152 (1943), 201. 入手出来ず未讀

19) J. Mckeown, L. M. T. Hokin, Metallurgia., (1950, Jan), 135.

20) A. Beck, P. R. Sperry, J. Appl. Phys. 21 (1950), 150.

21) A. Beck, P. R. Sperry, H. Hu, J. Appl. Phys. 21 (1950), 420.

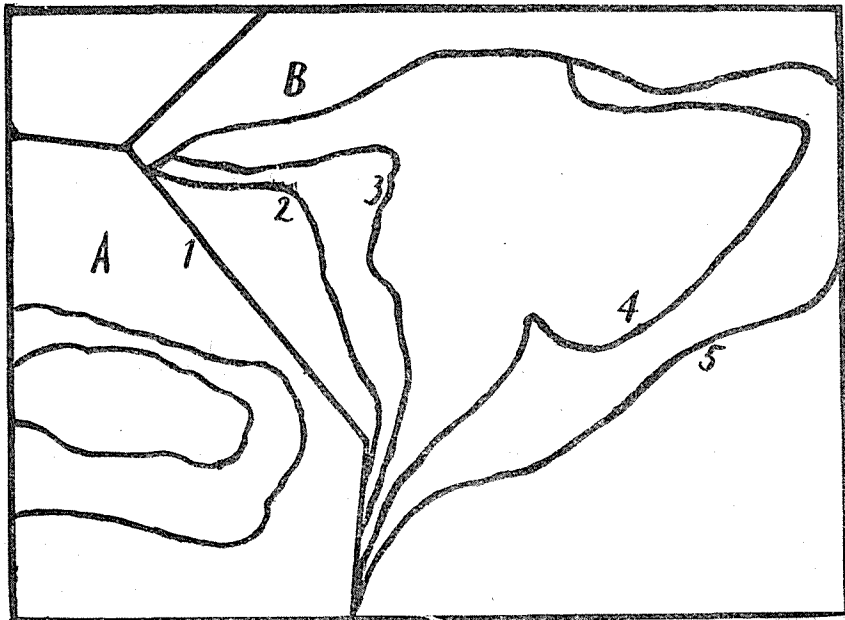


Fig.12 Strain induced grain botudary migration in high purity aluminium by Beck. The boundary 1 is the initial boundary between grain A and B. 2,3,4,5 are the successive stages of the migration.

くものである。(Fig.12参照) 従つてこの新しい領域は、再結晶しているから歪は無く又一方成長現象であるから、方位的には直線状で境する隣の結晶粒の方位に全く従う。この場合の粒界を移動する driving force は歪んだ結晶粒の有する過剰自由エネルギーである。よつて Beck はこれを strain induced grain boundary migration と名付けた。

この現象を著者等の観察と比較すると形態、成長、方位等において著しい類似が存在する。しかし析出物の存在という点において著者等の場合はより複雑であり、粒界移動がこの機構によるとしても、何故小さい析出物(小さいと言つても r' 相に達したと考えられる)が再び溶解し去るのが問題である。全體として巨大析出物を含む領域の自由エネルギーが、稍小さい析出物を含む歪のあるらしい喰われる結晶粒の自由エネルギーよりも小さいから、粒界移動が生ずるとか、或は migrate する粒界においては擴散が活潑なるが故に析出物の再編成が行われるとか、一應の説明は考えられるが満足な説明にはならない。著者等は未だこの問題についてはつきりした結論を得ていない。今後この問題を追求するつもりである。

VI 結 言

電子顕微鏡を用い、Ag24.59%の Al-Ag 合金の析出過程を観察して來たが、得られた結果を

総合すると次の如くである。

1. 200°C 及び 250°C の時効で析出する析出物は，初期には點狀（形は不明），次いで matrix の (111) 面に薄い (100~200Å) 板狀に析出して來る。
2. 析出物は時効が進むにつれて次第に大きく發達して來る。
3. 時効初期において，結晶粒界自體に發達した析出物が觀察されるが，粒界に接する粒内は析出物の成長速度が一般に遅い。
4. 各結晶粒により析出の進行が多少異なる。
5. 加工により析出は促進される。
6. 二つの結晶粒の方位が非常に異なる場合，時効に際し，結晶粒界の移動を生ずることがあり，その移動した部分には巨大な析出物の發達を示す。
7. この領域の方位は，この粒界が移動してゆく方の結晶粒の方位には何等關係なく，この領域が發生した直線で區切られた隣りの結晶粒の方位と完全に同じである。
8. 著者等の觀察したこの粒界附近の析出物の異常成長した領域は，Gayler 等の觀察した“light phenomenon”と同様のものである。(この成因については今後更に研究を進めたい。)

本研究の寫真中 Photo.20 までは日立製作所製 *Hu7* 磁界型電子顯微鏡により，Photo.22 以下は日本電子光學研究所製 *JEM4* 磁界型電子顯微鏡により撮影したものである。

實驗に際し種々御便宜を賜つた日立製作所中央研究所の只野文哉博士，並びに日本電子光學研究所の風戸健二氏に厚く御禮を申し上げたい。又實驗に御協力下さつた桑畑弘道君，高橋昭一郎君にも感謝したい。

なお本研究は，この研究題目で支給された文部省科學研究費によつたことを附記する。

又本研究の一部は，日本金屬學會昭和26年秋季講演大會及び昭和27年の春季講演大會において發表した。

(1952年3月1日記)

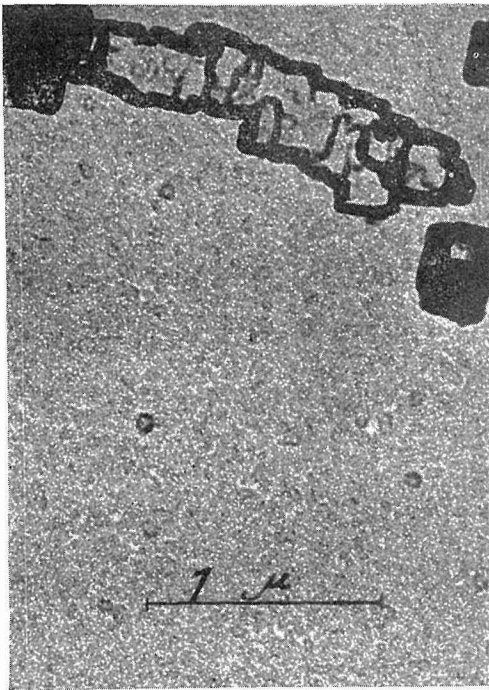


Photo. 1 Solution-treated and aged at 200°C for 30 minutes

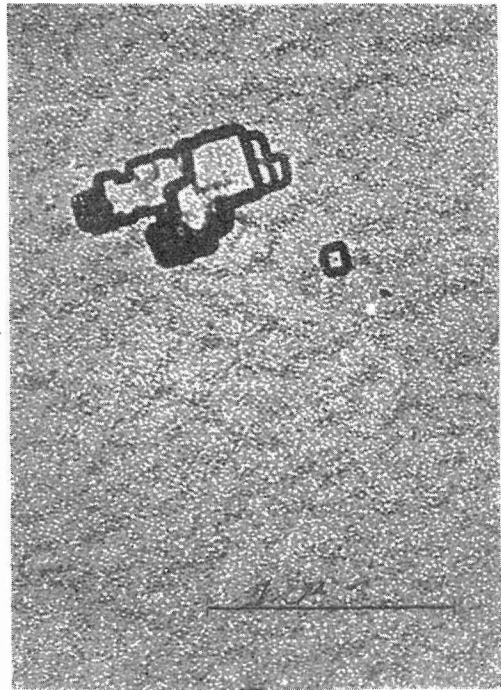


Photo. 2 Solution-treated and aged at 250°C for 5 minutes

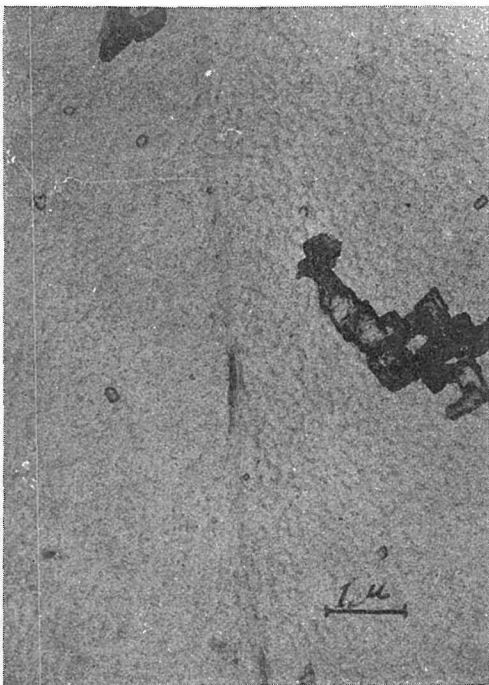


Photo. 3 Solution-treated and aged at 250°C for 10 minutes.

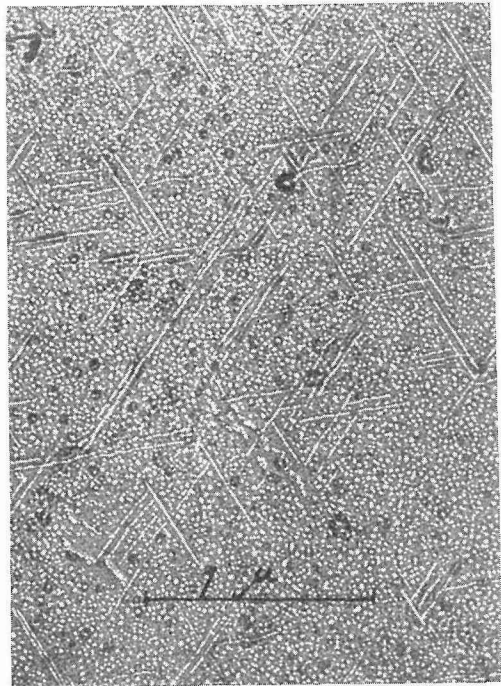


Photo. 4 Solution-treated and aged at 200°C for 4 hours.



Photo. 5 Solution-treated and aged at 250°C for 30 minutes.

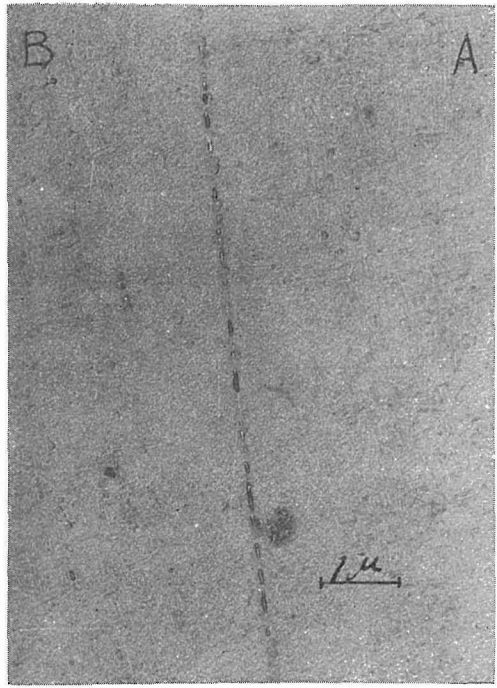


Photo. 6 Same aged as Photo.5



Photo. 7 Solution-treated and aged at 250°C for 90 minutes.

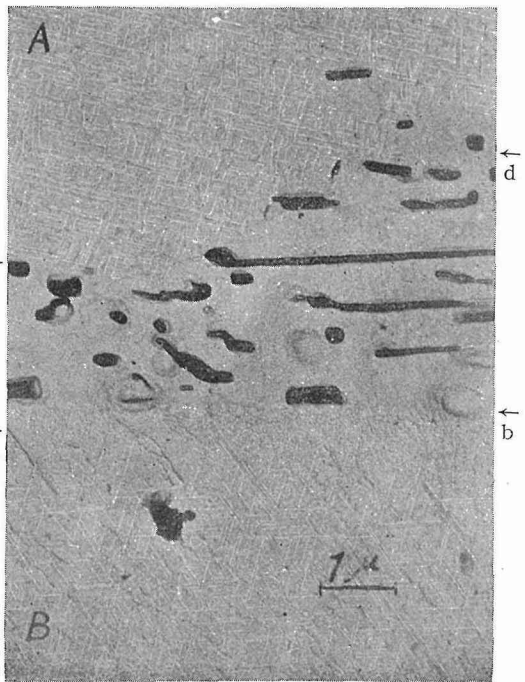


Photo. 8 Same aged as Photo.7

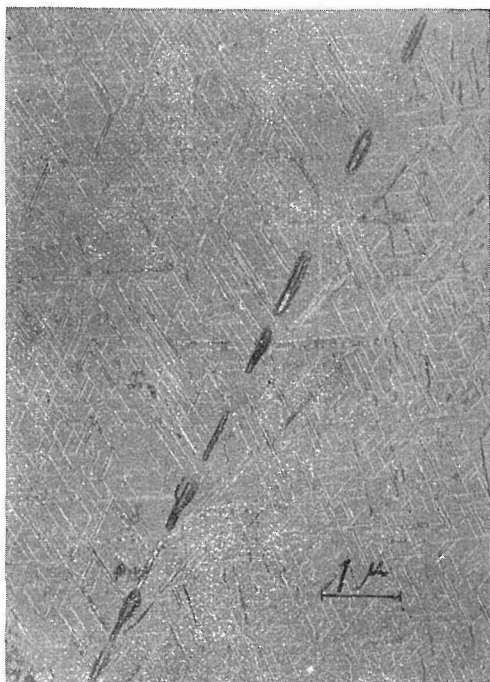


Photo.9 Solution-treated and aged at 250°C for 6 hours.

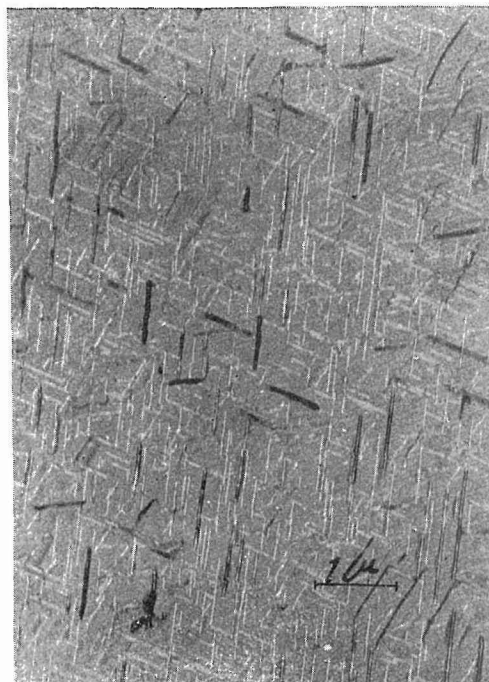


Photo.10 Solution-treated and aged at 250°C for 18 hours.

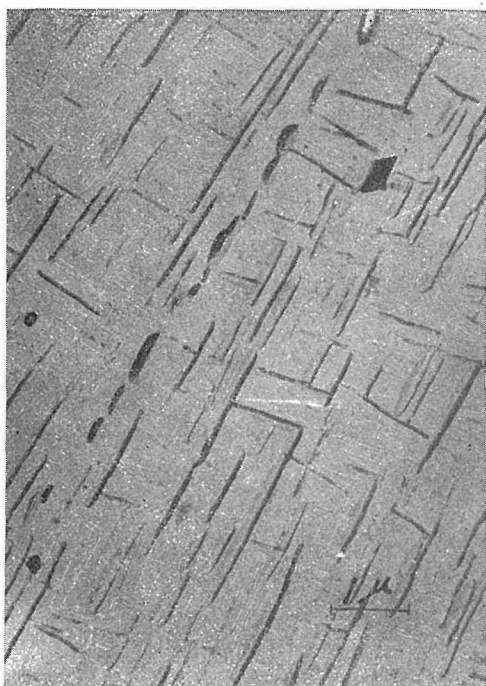


Photo.11 Solution treated and aged at 250°C for 50 hours.

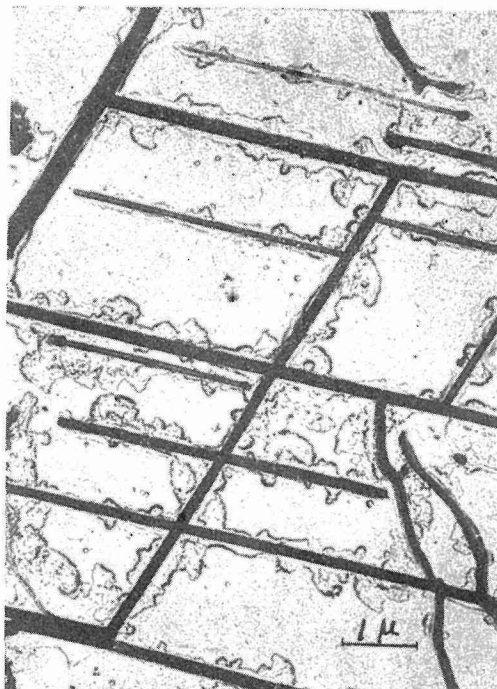


Photo.12 annealed 24 hours at 550°C and cooled in furnace very slowly.



Photo.13 Solution treated and stretched 2% elongation then aged at 250°C for 10 minutes.



Photo.14 Solution treated and stretched 2% elongation then aged at 200°C for 2,5 hours

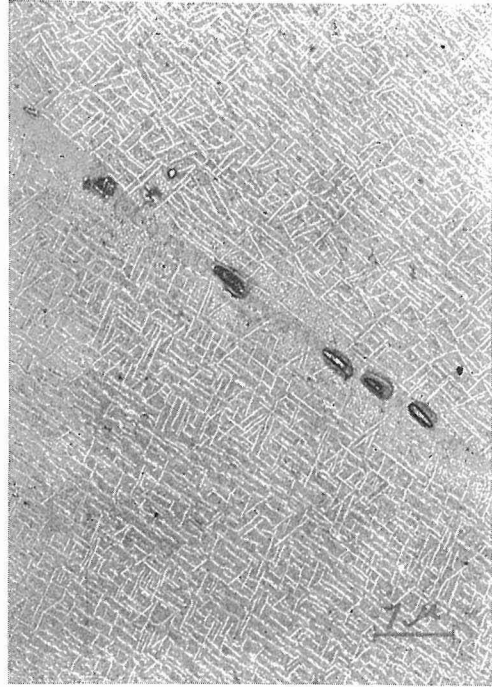


Photo.15 Solution treated and stretched 2% elongation then aged at 250°C for 30 minutes.

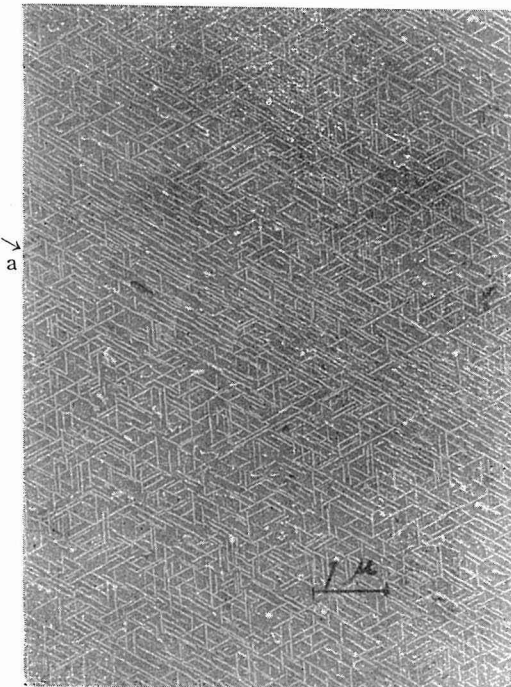


Photo.16 Solution treated and stretched 2% elongation then aged at 250°C for 30 minutes.

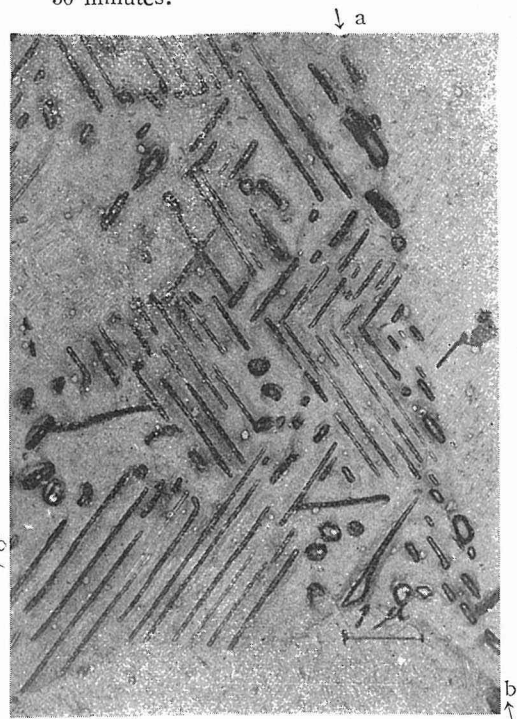


Photo.17 Solution treated and stretched 2% elongation then aged at 250°C for 90 minutes.

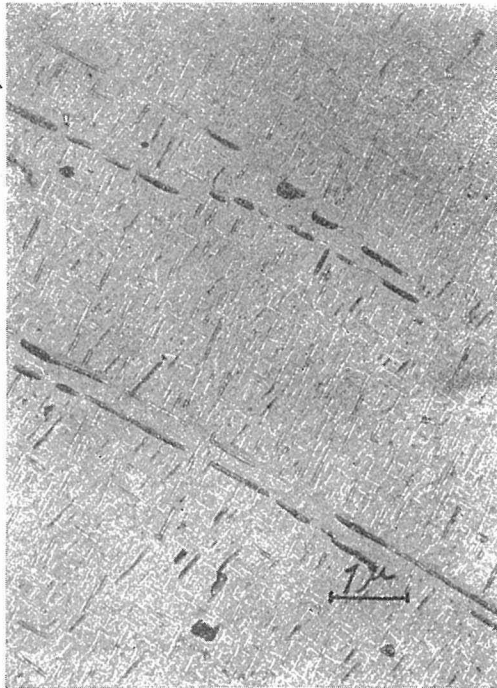


Photo.18 Solution treated and stretched 2% elongation then aged at 250°C for 6 hours.



Photo.19 Solution treated and stretched 2% elongation then aged at 250°C for 6 hours.

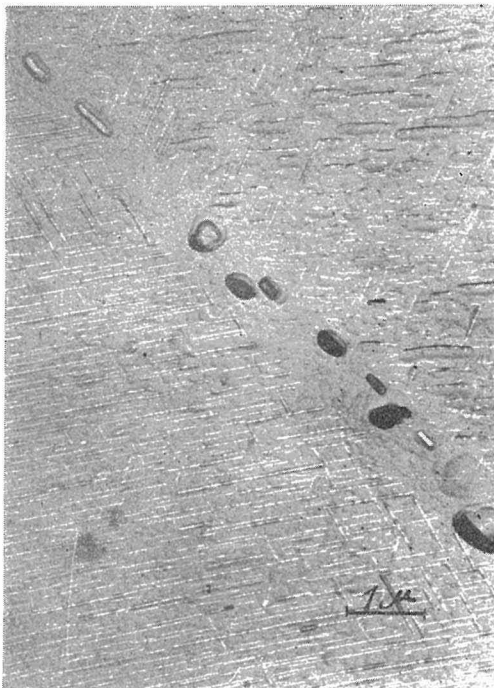


Photo.20 Solution treated and stretched 2% elongation then aged at 250°C for 18 hours.

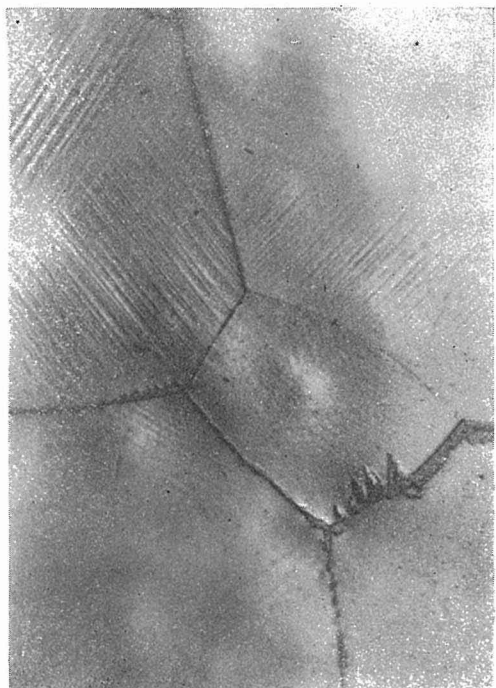


Photo.21 Solution treated and stretched 2% elongation then aged at 250°C for 30 minutes. this is striated structure. Optuiol microscope. $\times 200$

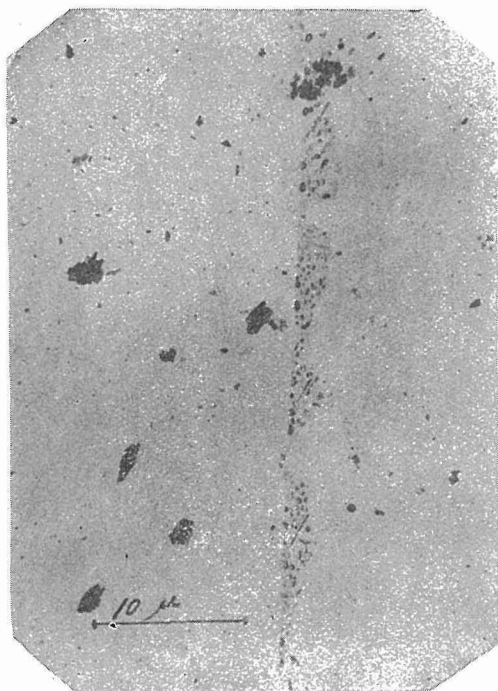


Photo.22 Solution treated and stretched 2% elongation then aged at 250°C for 30 minutes.



Photo.23 The same field as Photo.22

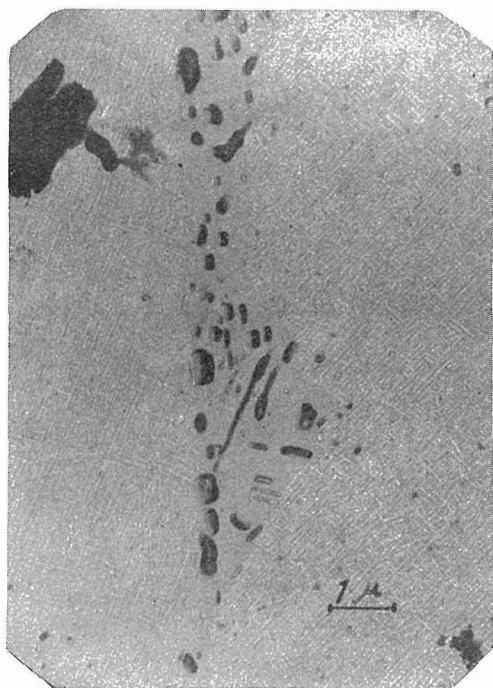


Photo.24 The same field as Photo.22



Photo.25 The same field as Photo.22